

LTCC 적층 필터를 위한 기생 성분 해석 및 필터 설계

Parasitic Elements Analysis and Filter Design for LTCC Multi-Layer Filter

이혜선 · 김유선 · 표현성 · 안재민 · 임영석

Hyesun Lee · Yuseon Kim · Hyunseong Pyo · Jaemin An · Yeongseog Lim

요약

본 논문에서는 선행 연구된 LTCC(Low Temperature Co-fired Ceramic) 적층형 대역 통과 필터 구조에 대해 기생 성분을 고려한 등가회로를 제시하고 SOC(Short-Open Calibration) 기법을 적용하여 소자값을 추출하는 과정을 보인다. 추출된 소자 값을 제시한 등가회로에 적용함으로써 위성 DMB에 적용 가능한 2차 LTCC 필터를 설계 제작하였다. 비유전율 7.8의 Dupont951을 사용하여 제작된 필터의 크기는 $2.4 \times 3.8 \times 0.378 \text{ mm}^3$ 이다. 측정 결과 1.4 dB의 삽입 손실과 32.3 dB의 반사 손실을 보였으며 설계 사양과 대체로 일치함을 보인다.

Abstract

In this paper, we present a equivalent circuit considered parasitic elements about LTCC multi-layer BPF structure that was studied previously and a process of extraction of the element value using SOC technique. By applying extracted element values to equivalent circuit, 2th LTCC filter was designed and fabricated that was applied to satellite DMB. The filter was fabricated of Dupont951 substrate with relative permittivity of 7.8, the dimension of the fabricated filter is $2.4 \times 3.8 \times 0.378 \text{ mm}^3$. The measurement results indicate 1.4 dB of insertion loss and 32.3 dB of return loss, which are in good agreement with simulated ones.

Key words : LTCC, Short-Open Calibration, Satellite DMB

I. 서 론

최근 무선 통신 시스템은 다중 대역의 사용과 멀티미디어 기능의 요구가 증대되면서 RF 부품의 수요가 증가하고 있다. 이에 따라 관련 부품들의 소형화 및 집적화의 필요성이 점점 부각되고 있으며, 이러한 요구를 충족시키기 위한 기술로 LTCC 적층 공법이 각광 받고 있다. LTCC 기술은 세라믹 기판 내에 수동 소자들을 3차원적으로 집적화하여 부품의 크기를 감소시킬 수 있을 뿐만 아니라 다양한 결합 메커니즘을 구현할 수 있다^{[1]~[6]}.

기존의 LTCC 적층 필터는 구조의 전자기적 현상을 나타내는 공식을 바탕으로 설계를 하였고^{[1],[2]}, 이는 기생 성분의 영향이 적은 간단한 구조의 필터 설

계에 적합하다.

하지만 더욱 집적화되고 복잡한 구조의 필터는 기생 성분의 해석 및 반영을 다수의 시행을 통한 최적화 과정에 의존해야 하기 때문에 최초 설계하고자 하는 필터와 제작된 필터의 주파수 응답 간에 다소간의 차이가 발생하게 된다. 이는 결국 통과 대역의 삽입, 반사 손실과 같은 필터의 특성에 영향을 미치게 된다^[3].

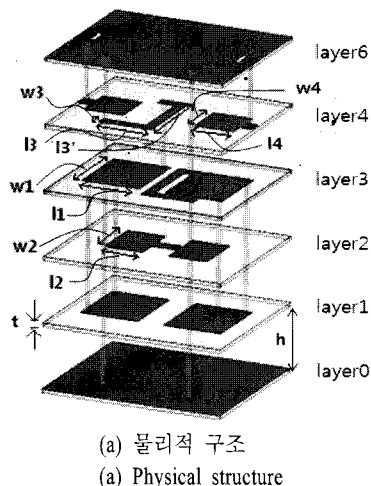
이러한 문제점 개선을 위해 비아를 이용한 인덕터, MIM(Metal-Insulator-Metal), VIC(Vertically Interdigitated Capacitor)와 같은 구조의 LTCC 소자 라이브러리의 구축이 이루어졌다^{[4],[5]}. 특히 VIC 구조는 동일한 커패시턴스를 갖는 MIM에 비해 75 %의 면적 감소 효과를 얻을 수 있어, 수동소자의 소형화에 적

합하다^[5].

본 논문에서는 측정 구조의 영향을 제거하고 앞서 제시된 문제점들의 효과적인 해결을 위해 선행 연구된 단락 개방 보정 방법(SOC)을 이용하였다^{[7]~[9]}. 그리고 자주 사용되는 MIM, VIC, 인덕터 구조 내부의 기생 성분 추출 및 기존 구조의 분석을 통해 필터 응용의 우수성을 입증한다.

선행 연구된 통과 대역 하측에 전송 영점을 갖는 대역 통과 필터의 등가회로와 구조 및 구조변수 값을 그림 1과 표 1에 나타내었다^[3]. 그림 1(a)와 같이 도체 판들을 적층하여 구조를 설계하면 인접한 도체들 간의 예측이 어려운 기생 성분이 발생하게 되어 설계하고자 했던 그림 1(b)의 등가회로와 다른 주파수 응답을 갖게 된다. 구조와 등가회로를 살펴보면 주요 전자기적 효과에 의한 특성 변화는 예측이 가능하지만, 그 밖의 기생 요소들은 예측하기 어렵다.

따라서 본 논문에서는 그림 1(a)에 보인 기존의 LTCC 적층 구조에 대해 기생 성분이 추가로 고려된



(a) 물리적 구조
(a) Physical structure

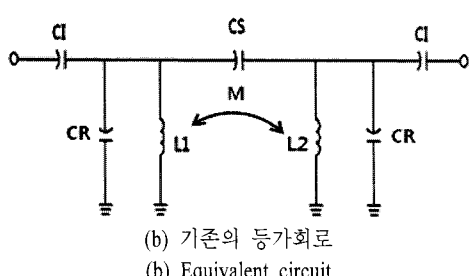


그림 1. LTCC 적층형 대역 통과 필터
Fig. 1. LTCC multi-layer bandpass filter.

표 1. LTCC 2차 BPF의 물리적 변수

Table 1. Physical parameters of LTCC 2차 BPF.

Physical parameters	Values	Physical parameters	Values
t	0.006 mm	h	0.09144 mm
w_1	1.524 mm	l_1	1.2192 mm
w_2	1.4732 mm	l_2	0.8128 mm
w_3	0.2032 mm	l_3 (l_3')	1.016 mm (1.6256 mm)
w_4	1.016 mm	l_4	0.9652 mm

등가회로를 새롭게 제안하고, SOC 기법을 이용하여 측정 패드에 의한 오차를 제거한 기생 소자를 추출하는 일련의 과정을 보인다. 그리고 이를 통해 설계된 라이브러리와 필터 등가회로 간의 효과적인 연결이 가능하게 하였다.

대역 통과 필터의 시뮬레이션 및 제작은 선행 연구의 필터와의 비교를 위해 비유전율 7.8, 두께 0.09144 mm의 Dupont951의 매질과, 도전율이 우수한 두께 0.006 mm의 Silver를 사용하여 수행하였으며, 본문의 구성은 다음과 같다.

2절에서는 기존의 구조를 커판시터는 MIM과 VIC 구조로, 인덕터는 단락된 수직 결합 형태의 구조로 나누어 각각에 대해 기생 성분이 고려된 등가회로를 제안하고 SOC를 적용하는 일련의 과정을 보인다. 3절에서는 2절에서 제안한 등가회로들을 이용하여 2차 대역 통과 필터를 설계하고 제작을 통해 추출된 소자 값들의 신뢰성을 검증하도록 한다. 결론에서는 본 논문에서 보인 SOC 기법을 이용한 소자 추출 기법을 LTCC 적층 구조에 적용함으로써 얻는 효과에 대해 논의한다.

II. 기존 구조 분석 및 기생 요소 추출

2-1 덤벨 형태의 커판시터가 삽입된 VIC 구조

그림 2는 그림 1에서 공진기의 커판시터와 공진기 간의 결합 커판시터를 발생시키는 VIC 구조를 나타낸 것이다. 상하에 접지 면이 위치해 있고, 접지면 하단부에 도체를 위치시킴으로써 도체와 접지면 사이의 전위차로 인해 C_{S_p1} , C_{S_p2} 가 각각 발생하고, layer 1과 layer 3에 위치한 사각 평행판 VIC 커판시

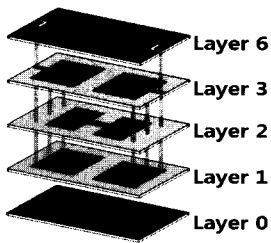


그림 2. VIC의 물리적 구조

Fig. 2. Physical structure of the VIC.

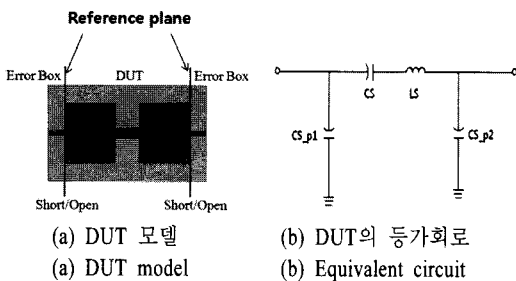


그림 3. VIC의 DUT 모델 및 등가회로

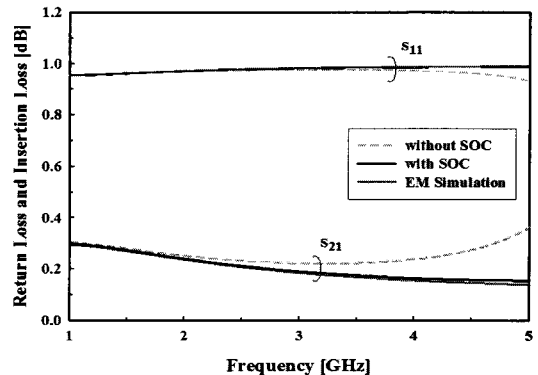
Fig. 3. DUT model and equivalent circuit of VIC.

터들은 비아 훌을 통해 연결됨으로써 등 전위를 형성한다. 또한, 도체 사이에 덤벨 형태의 구조를 삽입하여 C_s 를 발생시키게 된다. 여기에서, 신호 도체와 그라운드 사이의 시변 자계에 의한 자기 인덕턴스와 그 자기 인덕턴스들에 의한 상호 인덕턴스 효과인 L_s 가 추가로 고려되었다. 제시된 효과인 L_s 는 분리되어 고려해야 하지만 VIC 구조에서 그에 대한 영향은 미미함으로 하나의 합성된 직렬 인덕턴스로 표기하였다. 그리고 측정 패드와의 연결을 위해 추가된 feed line과 via는 그림 1의 구조에는 없었던 제거해야 할 요소이므로, 그림 3(a)와 같이 기준선을 두고 양 단을 error box로 처리하였다. 다음으로 SOC를 적용하게 되면, 시뮬레이션을 통한 전체 A, B, C, D 행렬 요소로부터 DUT만의 행렬 요소를 구할 수 있다. 이렇게 해서 추출된 DUT의 A, B, C, D 행렬 요소와 그림 3(b)에 보인 등가회로의 각 소자들과의 관계를식 (1)~(4)에 정리하였다.

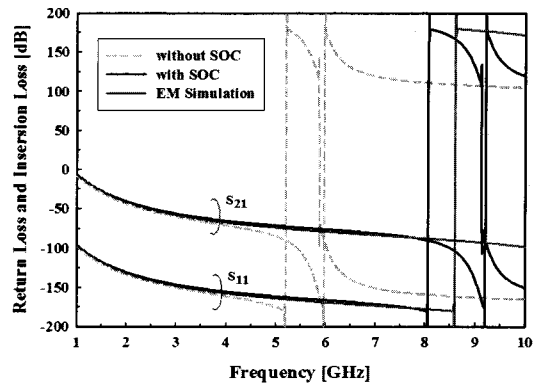
$$A = 1 + jwC_{s-p2}(jwL_s + 1/(jwC_s)) \quad (1)$$

$$B = jwL_s + 1/(jwC_s) \quad (2)$$

$$C = jwC_{s-p1} + jwC_{s-p2} + (jwC_{s-p1})(jwC_{s-p2})/(jwL_s + 1/(jwC_s)) \quad (3)$$



(a) 산란 파라미터의 진폭 응답
(a) Magnitude of the scattering parameters



(b) 산란 파라미터의 위상 응답
(b) Phase of the scattering parameters

그림 4. 산란 파라미터들의 비교

Fig. 4. Comparison of the scattering parameters.

$$D = 1 + jwC_{s-p1}(jwL_s + 1/(jwC_s)) \quad (4)$$

이를 각 소자에 대해 정리하면, 추출된 C_s , C_{s-p1} , C_{s-p2} , L_s 의 값들은 SOC를 적용하지 않은 결과 각각 1.143 pF, 2.711 pF, 2.701 pF, 1.168 nH, SOC를 적용한 결과 각각 1.083 pF, 2.582 pF, 2.573 pF, 0.5126 nH이다. 각 소자 값들이 적용된 회로 시뮬레이션 결과와 EM 시뮬레이션 결과를 그림 4에 비교하여 도시하였다. SOC 적용 유무 각각에 대해 진폭, 위상 응답을 살펴보면, 주파수가 증가함에 따라 산란 파라미터 값들이 차이를 보이는 것을 알 수 있다.

이는 주파수가 증가함에 따라 error box에 대한 영향이 점차 증가함을 보여준다. 또한 SOC를 적용하여 추출된 소자를 포함한 등가 회로 해석과 EM 시뮬레이션 간의 진폭과 위상 오차는 자기 공진 주파수(SRF) 이내에서 1% 이내의 상태 오차를 갖는다.

2-2 MIM 커패시터 구조

그림 5는 그림 1에서 입출력 포트와 공진기 간의 결합 커패시터를 발생시키는 MIM 구조를 나타낸 것이다. 마찬가지로 상하에 접지 면이 있고 접지면 바로 아래에 도체가 위치함으로써 등가회로에서의 CI_{-p1} 과 CI_{-p2} 가 각각 발생한다. 또한 도체와 도체면 사이에서도 전위차로 인해 CI 가 발생한다. 그리고 측정 패드와의 연결을 위해 feed line과 via가 추가되었으므로, 그림 6(a)와 같이 기준선을 경계로 양 단을 error box로 처리하고, SOC를 적용하여 DUT의 행렬 요소를 구한다. 다음으로, 전자기적 요소들이 고려된 DUT의 등가회로는 그림 6(b)이므로 이를 회로 해석하여 식 (5)~(8)과 같이 나타내고 DUT의 행렬 요소와 비교한다.

$$A = 1 + jwCI_{-p2}(jwLI + 1/(jwCI)) \quad (5)$$

$$B = jwLI + 1/(jwCI) \quad (6)$$

$$C = jwCI_{-p1} + jwCI_{-p2} + (jwCI_{-p1})(jwCI_{-p2})/(jwLI + 1/(jwCI)) \quad (7)$$

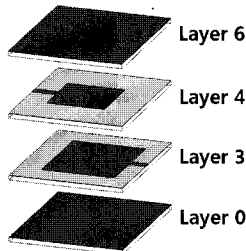


그림 5. MIM 커패시터의 물리적 구조

Fig. 5. Physical structure of the MIM capacitor.

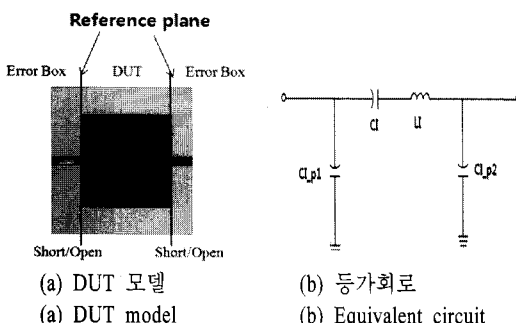
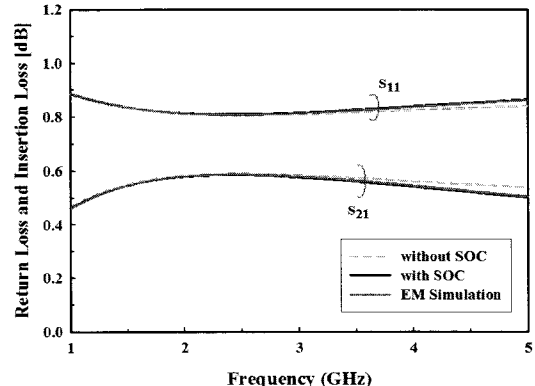
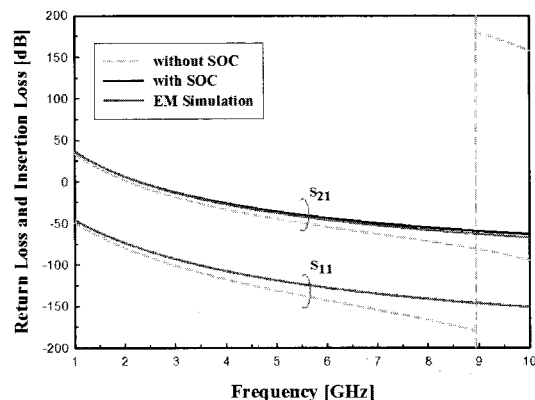


그림 6. MIM 커패시터의 DUT 모델 및 등가회로
Fig. 6. DUT model and equivalent circuit of MIM capacitor.



(a) 산란 파라미터의 진폭 응답
(a) Magnitude of the scattering parameters



(b) 산란 파라미터의 위상 응답
(b) Phase of the scattering parameters

그림 7. 산란 파라미터들의 비교

Fig. 7. Comparison of the scattering parameters.

$$D = 1 + jwCI_{-p1}(jwLI + 1/(jwCI)) \quad (8)$$

각 식을 소자에 대한 값으로 정리하여 추출한 값인 C_i , CI_{-p1} , CI_{-p2} , L_i 의 값들은 SOC를 적용하지 않은 결과 각각 1.005 pF , 0.5538 pF , 1.032 pF , 0.6049 nH 이고, SOC를 적용한 결과 각각 0.9847 pF , 0.4694 pF , 0.9707 pF , 0.16 nH 이다. 각 소자 값을 등가회로에 대입하여 회로 해석한 결과를 그림 7에 도시하였다. 마찬가지로 주파수가 증가함에 따라 SOC를 적용한 경우와 적용하지 않은 경우의 반사, 삽입 손실 그래프는 error box에 의한 오차가 발생함을 알 수 있으며, SOC를 적용한 경우의 시뮬레이션 결과와 추출된 소자가 적용된 회로 해석 결과의 진폭과 위상 오차는 0.5% 이내의 상대 오차를 보인다.

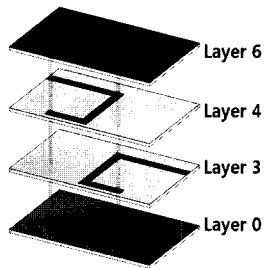


그림 8. 인덕터 결합 선로의 물리적 구조

Fig. 8. Physical structure of the inductor coupled line.

2-3 인덕터 결합 선로

그림 8은 그림 1에서 공진기의 인덕터와 공진기 간의 상호 인덕터를 발생시키는 단락된 수직 결합 형태의 구조를 나타낸 것이다. 비아를 통해 상하의 접지 면과 연결된 전송 선로를 삽입한 구조로, 선로를 통해 흐르는 시변 전류로 인해 생성된 자기 인덕턴스 효과를 L_1, L_2 , 같은 방향의 전류로 인한 상호 인덕턴스 효과를 MM 이라 하였다. 여기에서 결합 선로의 기생 커패시턴스 효과인 C_M 과 선로의 비연결성, 프린징 효과 등으로 인한 선로의 기생 커패시턴스 효과인 C_{p1}, C_{p2} 를 등가회로에 추가로 고려하였다.

마찬가지로 입력단파의 연결을 위한 길이는 그림 9(a)에서와 같이 error box로 처리하였고, error box의 영향을 제외한 DUT의 등가회로는 그림 9(b)와 같다. 여기에서, DUT의 A, B, C, D의 행렬 값과 등가회로 상의 각 소자들 간의 관계는 식 (9)~(12)와 같다.

$$A = 1 + (jwC_{p2} + 1/(jwL_2)) / (jwC_M + 1/(jwMM)) \quad (9)$$

$$B = 1 / (jwC_M + 1/(jwMM)) \quad (10)$$

$$\begin{aligned} C &= (jwC_{p1} + 1/(jwL_1)) + (jwC_{p2} + 1/(jwL_2)) \\ &\quad + (jwC_{p1} + 1/(jwL_1))(jwC_{p2} + 1/(jwL_2)) \\ &\quad / (jwC_M + 1/(jwMM)) \end{aligned} \quad (11)$$

$$D = 1 + (jwC_{p1} + 1/(jwL_1)) / (jwC_M + 1/(jwMM)) \quad (12)$$

이를 각 소자에 대한 값으로 정리하여 추출하면 $L_1, L_2, MM, C_{p1}, C_{p2}, CM$ 의 값들은 SOC를 적용하지 않은 결과 각각 1.714 nH, 1.884 nH, 8.169 nH, 0.3951 pF, 0.3594 pF, 0.08383 pF이고, SOC를 적용한 결과 각각 1.479 nH, 1.364 nH, 3.79 nH, 0.2174 pF,

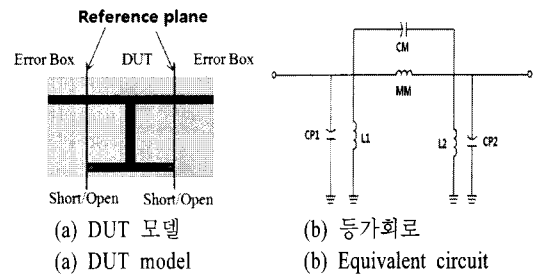
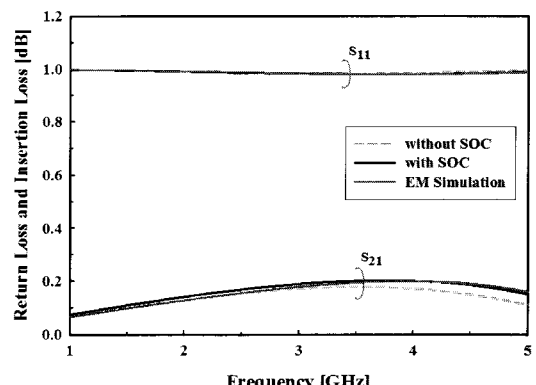
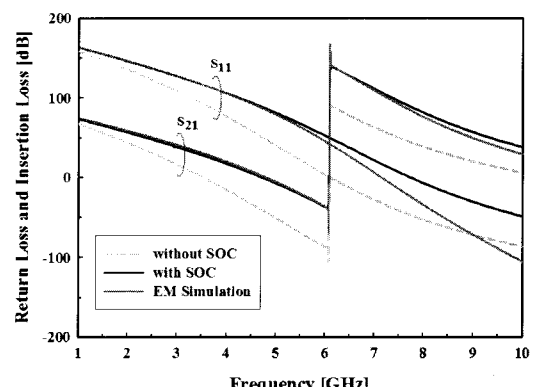


그림 9. 인덕터 결합 선로의 DUT 모델 및 등가회로
Fig. 9. DUT model and equivalent circuit of the inductor coupled line.



(a) 산란 파라미터의 진폭 응답
(a) Magnitude of the scattering parameters



(b) 산란 파라미터의 위상 응답
(b) Phase of the scattering parameters

그림 10. 산란 파라미터들의 비교
Fig. 10. Comparison of the scattering parameters.

0.2496 pF, 0.1807 pF이다. 각 소자 값들이 적용된 회로 시뮬레이션 결과와 EM 시뮬레이션 결과를 비교하여 그림 10에 도시하였고, 마찬가지로 SOC가 적용된 소자 값이 적용된 회로 해석과 시뮬레이션 결과의

진폭, 위상 오차는 자기 공진 주파수(SRF) 이내의 주파수에서 0.5 % 이하의 상대 오차를 갖는다.

III. 2차 대역 통과 필터 설계 및 제작

3-1 2차 대역 통과 필터 설계

앞 절의 결과를 바탕으로 새로 구성된 2차 대역 통과 필터의 등가회로는 그림 11과 같다.

그림 2의 등가회로와 비교하면, 기존의 등가 회로 상에 나타난 상호 인덕턴스 효과인 M 을 π 형으로 변환하는 과정을 거치면^[2], 수정된 등가회로에는 기생 요소인 L_s , C_m , CI_{-p1} 이 추가되었음을 알 수 있다.

그림 11의 각 소자 값들을 표 2에 요약하여 표기하였다. 그림 12는 SOC를 적용하지 않은 결과와 SOC를 적용한 결과에 대한 각각의 회로 시뮬레이션 결과와 그림 1의 구조에 대한 EM 시뮬레이션 결과를 함께 도시한 것이다.

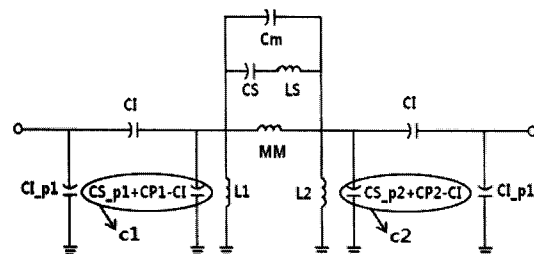


그림 11. 2차 대역 통과 필터의 수정된 등가회로
Fig. 11. Modified equivalent circuit of second order BPF.

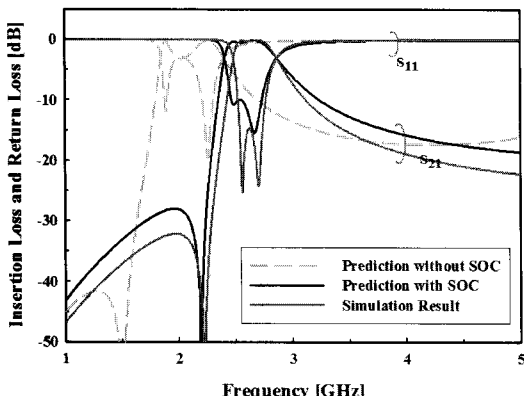


그림 12. 산란 파라미터들

Fig. 12. The scattering parameters.

표 2. LTCC 2차 BPF의 등가회로의 소자 값

Table 2. The element values of equivalent circuit of LTCC 2차 BPF.

	Without SOC	With SOC
$MM(\text{nH})$	8.169	3.79
$C_M(\text{pF})$	0.08383	0.1807
$C_s(\text{pF})$	1.143	1.083
$L_s(\text{nH})$	1.168	0.5126
$L_1(\text{nH})$	1.714	1.479
$L_2(\text{nH})$	1.884	1.364
$C_1(\text{pF})$	2.1011	1.8147
$C_2(\text{pF})$	2.0554	1.8379
$CI(\text{pF})$	1.005	0.9847
$CI_{-p1}(\text{pF})$	0.5538	0.4694

먼저 구조의 시뮬레이션 결과를 보면, 통과 대역이 2.4~2.8 GHz로 Bluetooth/WLAN 및 위성 DMB 대역을 통과시키고, 하측 IMT-2000 서비스 대역의 효과적인 차단을 위해 전송 영점을 발생시키는 필터 특성을 갖는다. 여기에서 전송 영점의 발생은 공진 기 사이의 전자기 결합에 의해 발생한다^[9].

다음으로 SOC 적용 여부에 따른 각각의 회로 시뮬레이션 결과를 보면, 중심주파수뿐만 아니라 통과 대역과 폴의 위치에서 두 그래프가 차이를 보이는 것을 알 수 있다. 이는 각 구조의 top ground에 있는 입·출력 포트와의 연결을 위해 생성된 error box의 유무가 적지 않은 영향을 미치는 것으로 사료된다. 또한 SOC를 적용한 결과는 목표했던 통과 대역 2.4~2.8 GHz를 갖는 필터 특성을 나타내고 있고, 구조의 시뮬레이션 결과와 비교하면 통과 대역과 전송 영점의 위치가 상당히 일치한 결과를 얻을 수 있었다.

3-2 2차 대역 통과 필터 제작

그림 13은 본 논문에서 제작을 위한 LTCC 적층 필터의 층 정보를 보여주고 있다. 기존의 연구에서 수행된 LTCC 기판의 층간 간격은 그림 13(a)와 같이 일정 간격으로 수행되었으나, 실제 제작에서는 그림 13(b)와 같은 좁은 층 간 간격의 기판을 사용하였다. 결합 구조의 층 간 간격을 줄여 설계함으로써, 인덕터와 인덕터 결합부의 주요 인덕턴스와 결합 인덕턴스

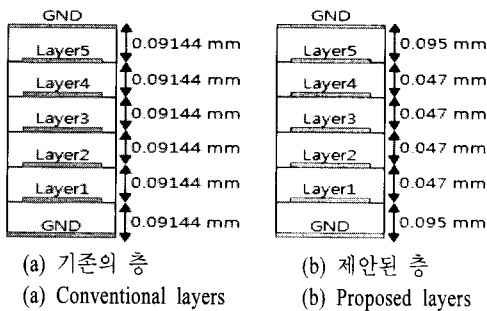


그림 13. 설계 층 정보

Fig. 13. Information of designed layers.

스 값은 감소하였지만, 인덕터 내부의 기생 커패시턴스 값의 증가와 MIM 구조와 VIC 구조의 기생 인덴턴스 값 감소, 결합 커패시턴스 값 증가 등으로 인해 30 % 이상의 크기 소형화를 달성할 수 있었다.

그림 14는 앞 절의 과정을 반복하여 라이브러리를 만들고, 이에 따라 제작된 LTCC 적층 필터의 사진

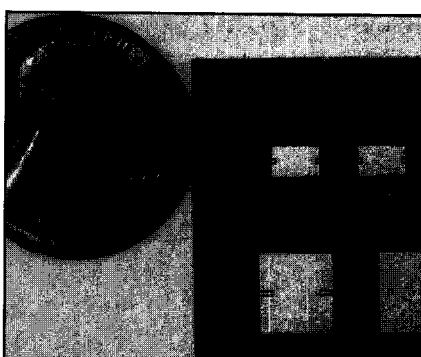


그림 14. 제작된 LTCC 대역 통과 필터

Fig. 14. Fabricated LTCC bandpass filter.

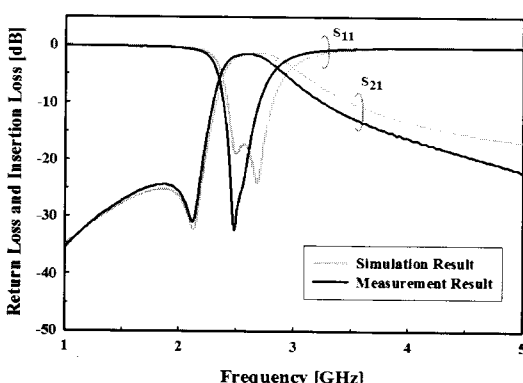


그림 15. 전자기 시뮬레이션과 측정 결과

Fig. 15. The EM simulation and the measurement result.

표 3. LTCC 2차 BPF의 특성 비교

Table 3. Comparison of characteristics of the LTCC 2 차 BPF.

	Simulation	Fabrication
통과 대역 (GHz)	2.44~2.93	2.41~2.8
전송 영점 (GHz)	2.13	2.11
삽입 손실 (dB)	1.5	1.4
반사 손실 (dB)	17.26	32.3
사용 서비스 대역	Bluetooth/WLAN 및 위성 DMB	

이다. SOC로부터 추출된 소자 라이브러리와 새로운 운층 정보를 이용하여 제작된 LTCC 대역 통과 필터의 측정 결과와 EM 시뮬레이션 결과는 그림 15와 같고, 이에 대한 특성을 표 3에 나타내었다.

EM 해석과 측정 결과간의 오차는 EM 해석은 주파수 독립적인 도체 손실(μ 의 도전율= 6.0×10^7)과 유전 손실($\tan \delta = 0.0045$)을 고려하여 설계하였지만, 측정된 결과는 주파수 의존적인 손실 특성을 가짐으로써 발생한 것과 각각의 해석 주파수의 modal matching(MM)을 위한 margin에 의한 차이에 의한 것이라 사료된다. 도체 손실과 유전 손실의 경우 주파수가 증가함에 따라 증가하게 되므로, 하측 주파수에서는 더욱 적은 삽입 손실을 보이고 상측 주파수에서는 더욱 큰 삽입 손실에 의한 오차가 발생함을 유추할 수 있다.

IV. 결 론

본 논문에서는 SOC 기법을 LTCC 적층 구조에 적용하여 수동 소자를 추출하고 이를 통해 라이브러리를 구성하여 적층 필터 설계 및 제작에 응용하는 일련의 과정을 보였다. 이를 통해 기존에 반영하기 어려웠던 기생 효과에 대한 효과적인 고려와 신뢰성 라이브러리 구축 및 원하는 스펙을 갖는 소형화된 적층 필터 설계 목표를 달성하였다. 본 논문에서 제안된 적층 필터 설계 과정은 필터 설계뿐만 아니라 적층 수동 소자를 필요로 하는 소형화된 수동 회로들에도 효과적으로 응용될 수 있을거라 기대된다.

참 고 문 헌

- [1] L. K. Yeung, K. -L. Wu, "A compact second-order

- LTCC bandpass filter with two finite transmission zeros", *IEEE Trans. Microwave Theory and Tech.*, vol. 51, no. 2, pp. 337-341, Feb. 2003.
- [2] Wei-Shin Tung, Yi-Chyun Chiang, and Jui-Ching Cheng, "A new compact LTCC bandpass filter using negative coupling", *IEEE Microwave Wireless Component Letters*, vol. 15, no. 10, pp. 641-643, Oct. 2005.
- [3] A. Sutono, J. Laskar, and W. R. Smith, "Design of miniature multilayer on package integrated image-reject filters", *IEEE Trans. Microwave Theory and Tech.*, vol. 51, no. 1, pp. 156-162, Jan. 2003.
- [4] William Blood, Feng Ling, Thomas Myers, and Michael Petras, "Library development process for embedded capacitors in LTCC", *IEEE Conference. Electrical Performance of Electronic Packaging*, Oct. 2000.
- [5] A. Sutono, D. H. Heo., Y. J. E. Chen, and J. Laskar, "High-Q LTCC-based passive library for wireless System-on Package(SOP) Module develop-
- ment", *IEEE Trans. Microwave Theory and Tech.*, vol. 49, no. 10, pp. 1715-1724, Oct. 2001.
- [6] Ching-Wen Tang, Dong-Lin Yang, "Realization of multilayered wide-passband bandpass filter with low-temperature co-fired ceramic technology", *IEEE Trans. Microwave Theory and Tech.*, vol. 56, no. 7, pp. 1668-1674, Jul. 2008.
- [7] 김유선, 남훈, 임영석, "단락개방 calibration 방법을 이용한 MIM 커패시터의 기생 소자 값 추출", 대한전자공학회논문지, 45 TC(8), pp. 114-120, 2008년.
- [8] 김유선, 남훈, 임영석, "단락 개방 calibration 방법을 이용한 분포 정수 소자의 기생 소자 추출 및 대역 통과 필터에의 응용", 한국전자파학회논문지, 20(2), pp. 115-123, 2009년 2월.
- [9] 김유선, 남훈, 이건천, 서인종, 임영석, "유효 인덕턴스 효과와 적층 PCB를 이용한 하나의 전송 영점을 갖는 대역 통과 필터", 한국전자파학회논문지, 17(11), pp. 1089-1095, 2006년 11월.

이 혜 선



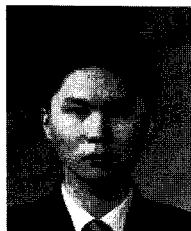
2009년 2월: 전남대학교 전자컴퓨터정보통신공학부 (공학사)
2009년 3월~현재: 전남대학교 전자컴퓨터공학과 석사과정
[주 관심분야] 초고주파 회로 설계 및 해석, RF 소자 설계

표현성



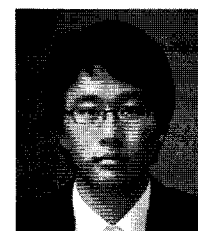
2009년 2월: 전남대학교 전자컴퓨터정보통신공학부 (공학사)
2009년 3월~현재: 전남대학교 전자컴퓨터공학과 석사과정
[주 관심분야] 초고주파 회로 설계 및 해석, RF 소자 설계

김 유 선



2004년 2월: 전남대학교 전자공학과 (공학사)
2006년 2월: 전남대학교 전자공학과 (공학석사)
2006년 2월~현재: 전남대학교 전자공학과 박사과정
[주 관심분야] 초고주파 회로 설계 및 해석, RF 소자 설계, 안테나

안재민



2009년 2월: 전남대학교 전자컴퓨터정보통신공학부 (공학사)
2009년 3월~현재: 전남대학교 전자컴퓨터공학과 석사과정
[주 관심분야] 초고주파 회로 설계 및 해석, RF 소자 설계

임 영 석



1980년 2월: 서울대학교 전자공학
과 (공학사)

1982년 2월: 서울대학교 전자공학
과 (공학석사)

1989년 2월: 전북대학교 전자공학
과 (공학박사)

1984년 9월~현재: 전남대학교 전자
공학과 교수

[주 관심분야] 전자파 수치 해석, 초고주파 회로 설계 및
해석, RF 소자 설계, 안테나